

I-157 構造断面後流中の風速変動

東京大学工学部 正員 田中 宏
同上 大学院 学生員 ○森光康夫
日本国有鉄道 正員 根橋 崑

1. まえがき

一様空気流中に設置された構造物は、構造物自体が静止している場合と振動している場合とで、遠縁の空気力を受けることによることが、これまでの研究において明らかにされている。このことは、両者の状態における空気の流れ模様が全く異なっていることを予想させるものであるが、このような状態の空気の流れ自体に注目した研究は数少ない。本研究は、構造断面模型を静止および振動させ、その後流の状態を実験的に調査したものである。この結果、後流の風速変動の周期現象の有無、その発生条件、同期現象等における風速変動の変位に対する位相遅れ等につけていくつの成果を得た。なお、本実験に用いた模型は Fig. 1 に示されるような単純な断面を持つものである。

2. 実験装置および測定

実験は $0.7m \times 1.8m$ の測定部を持つ空力弹性試験用風洞で行なわれた。この風洞には、模型の加振装置がついていて、1~24cm/sの上下振動および回転振動を制御することができる。風速の測定は、一様風速下については模型より十分離れて固定したピトーピー管で行ない、模型後流の風速変動については、2本の25μm白金熱線で行なった。この2個の熱線は Fig. 2, Tab 1 に示される位置にスタンドで固定され、これ等によって検出された風速変動は、全てヤニ書きオシログラフに記録された。

各模型について、(1)静止状態の場合 (2)上下振動(半振幅 $\delta_0 = 5, 10, 20\text{mm}$)を調節した場合 (3)回転振動(半振幅 $\delta_0 = 2.0^\circ, 4.0^\circ, 7.5^\circ$)の場合が、風速域2~24 m/sで測定された。オシログラフに記録された風速変動成分および変動の振動数 N 、風速変動の大きさ $ΔV$ が求まり、又同期現象が発生した場合には、2本の熱線の位置を考慮して、模型の後縁における風速変動のピーコーの模型後縁の変位に対する位相遅れ $β$ を次式によって計算した。

Table 1

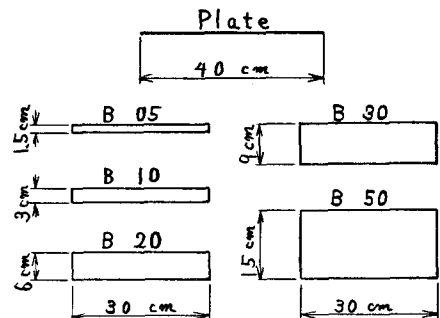


Fig. 1 模型の諸元

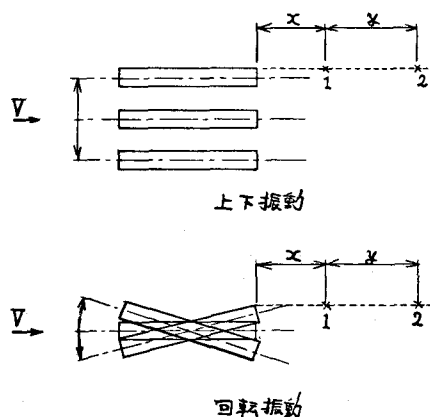


Fig. 2. 热线の位置

$$\beta = (\beta_1 - \beta_{01}) - \alpha \frac{X}{L}, \quad \alpha = (\beta_2 - \beta_{02}) - (\beta_1 - \beta_{01})$$

但し X, Y は Tab. 1 に表示した熱線の位置を示す値で、 β_1, β_2 は 2 つの熱線によって検出されたオシログラムに記録された風速変動のビーカーの変位のビーカーに対する位相差の値である。 β_{01}, β_{02} は其た電気的原因等による初期位相差を示す値で、これは求め無風状態の中で模型に固定した支持棒の先に熱線を取り付け 強制振動を加えることによって検出された風速変動をオシログラムに記録し求めた。

3. 風速変動振動数と同期現象

Fig. 3 は、模型が静止している場合の後流の風速変動の振動数 N と一様風速 V に関するプロットしたもので、この中のグラフから次の事が考えられる。

- (i) 静止模型の後流の風速変動振動数はこれまでの研究で既に明かにされていて、風速 V と比例関係にあり Tab. 2 の無次元化 Strouhal 数が得られる。ここで得られた Strouhal 数の大きさは、文献(1)で中口氏等が提示した実験結果ともよく一致している。B10 以下のフラットな模型におけるても振動が記録されたが、高振動数では強制振動が困難となりパラッキが大きくなる。

模型	20	30	50
S	0.104	0.126	0.080

Table 2

Fig. 4 は、模型に上下振動を与えた場合の風速変動振動数 N と一様風速の関係を示している。

Fig. 4 および 4(i) は Fig. 3, 4 を比較することによって次のような差異がなされる。

- (ii) 振動模型に作用する空気力の測定結果が予期されたように同期の現象が観察されるが、その領域は模型の高さが高くなるに従って急速に狭くなっている。強制振幅が大きくなれば同期領域がより広くなることわかる。さらに注目されるのは、同期の領域にありては一般に強制振動数と同振動数の風速変動の上に模型を静止した場合に生ずる風速変動が重疊していけることである。又、両者の振動数が接近している領域では、強制振動数と同振動数の風速変動が卓越している。

- (iii) 上下強制振動をさせた時、同期の領域外にありては模型を静止させた時と全く同じ振動数でしかもよりはるかに規則的な風速変動をしていふことが分かる。これは、模型の微少振動が周期的風速変動を誘引している為であると思われる。

さるに上の比較を空気力について行なってみると次の様に見える。すなはち、B50, B30 のように極めて高い(直角な面水切り)構造物が高風速を受けた場合、その構造物の振動の有無によらず、より作用する空気力は、構造物が静止していふとして求めた空気力と同種のものである。

一方、模型が回転振動をしていふ時は、全ての模型について全測定風速域で同期現象が観察された。Fig. 5 に B50, B20 の場合を示しておく。

- (iv) Fig. 5 より分かるように、上下振動の場合と同じく、強制振動数と同振動数の風速変動の上にまた振動数の高い風速変動が重疊していふ。その振動数は静止の場合のほゞ 2 倍の値となっている。これは、模型の上下から交互に放出される渦を重ねて記録している為である。

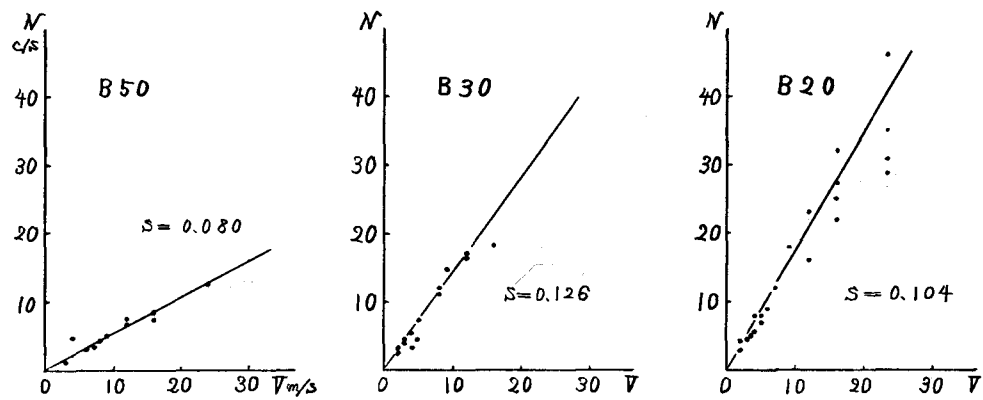


Fig. 3. 静止模型後流の風速変動振動数

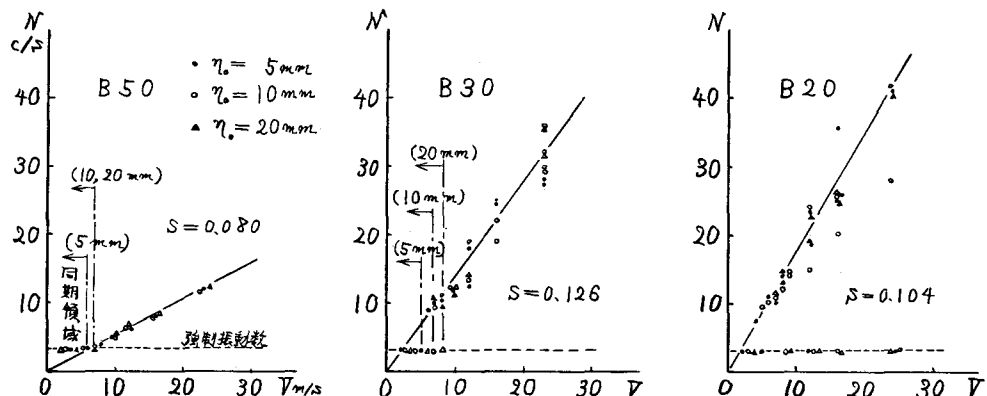


Fig. 4 上下振動中の模型後流の風速変動振動数

4. 風速変動の位相差

Fig. 6 は、先に述べた方法で求めた位相差の β を 振動振動数 $\omega = \omega_0/T$ (但し, ω_0 : 強制円振動数, T : 模型半周) に対してプロットしたものである。この β のグラフは次の事を意味する。
 (i) Plate が上下振動を行なう場合, β は非常に小さく, ほぼ一定である。このことは抽出された風速変動が Plate の種類で発生する剝離流によるもので

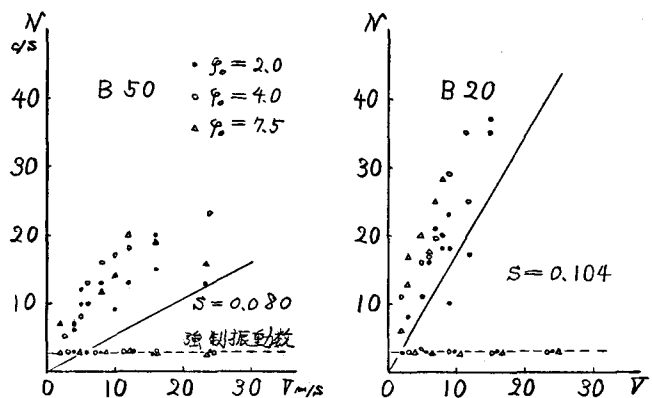


Fig. 5 回転振動中の模型後流の風速変動振動数

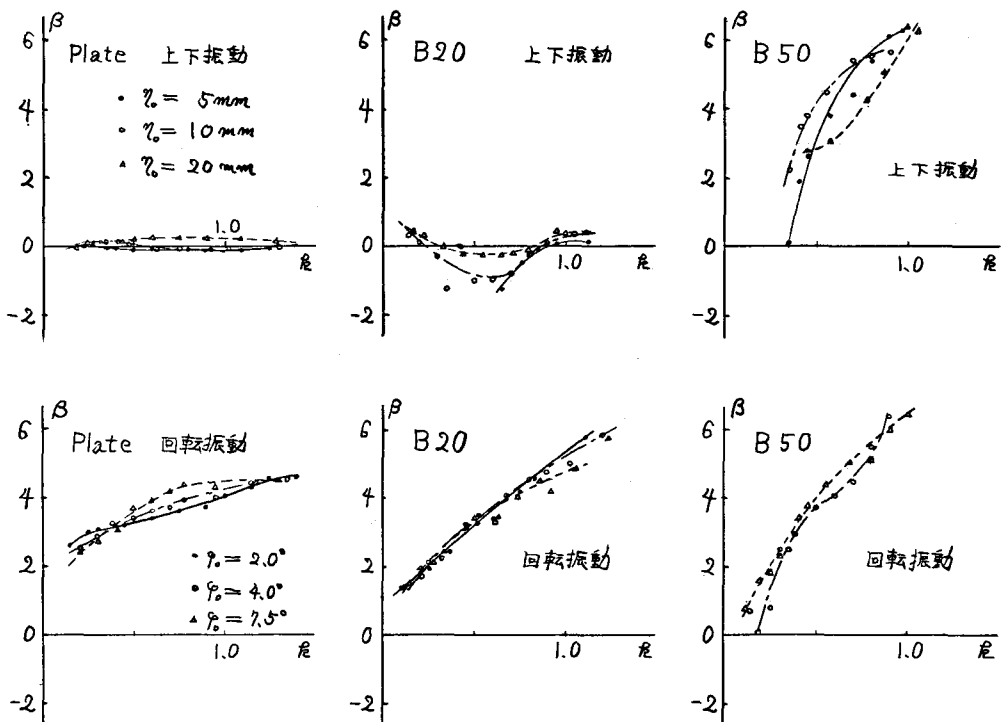


Fig. 6 模型の変遷に対する模型の後縁での風速変動の位相遅れ。

あり、この剝離流の Plate 種類における速度の最大値は、Plate が最高位置になった時に生ずるものであると解釈される。このような傾向は B20 以下のフラットな模型に多いことみられる。

(ii) B50 のような高さの高い模型が上下振動を行なう場合の位相遅れ β は、風速が減少する（けなめから大）と共に大きくなっている。これは、模型の前縁で剝離が発生し、その剝離流が後縁に流れてくるまでの時間差によって、位相遅れの大小があること考えるのが最も妥当である。

(iii) 回転振動の場合は、全ての模型が上下振動中の B50 と同様の傾向を示しているので、前縁での剝離が観測されていると考えてよい。たゞ風速変動が後縁まで運ばれる時間は、高さが高くなるほど長くかかる。

5. むすび

静止および振動模型の後流の風速変動の観察から、次の事項に関する成果を得た。

- (1) 静止物体後流の周期的変動
- (2) 振動物体後流の同期現象
- (3) 剥離流に關係する 風速変動の位相遅れ

これらの知識では、空気力と風との關係を説明するにはまだ不充分ではあるが、今後の研究の参考となるよう。

文献(1) 中口 博・橋本豊久・武蔵 貞理 矩形断面の柱の抗力に関する実験 1967. 4.